

# ارائه روش جدیدی برای تشخیص خسارت‌های جزئی در پایه‌های پل‌های مستقیم با استفاده از منحنی‌های شکنندگی نیروهای هارمونیک

محمد محمدی<sup>۱</sup>، فرهاد دانشجو<sup>۲\*</sup>

۱- دانشجوی کارشناسی ارشد مهندسی عمران(زلزله)، دانشکده عمران و محیط‌زیست، دانشگاه تربیت مدرس

۲- استاد گروه سازه، دانشکده عمران و محیط‌زیست، دانشگاه تربیت مدرس

Email: danesh\_fa@modares.ac.ir

تاریخ دریافت: [۱۴۰۲/۸/۱۴] تاریخ پذیرش: [۱۴۰۲/۱۲/۹]

## چکیده

با توجه به افزایش سن پل‌ها، تبیین و استفاده از روش‌های مؤثر شناسایی خسارت جزئی به کمک سیستم‌های پایش سلامت از اهمیت بالایی برخوردار می‌باشدند چراکه امکان بازسازی آسیب‌ها را قبل از افزایش خسارت مهیا می‌کنند از اهداف اصلی این مقاله، ارائه روشی مؤثر و کارآمد جهت پایش سلامت و تشخیص خسارت جزئی در پایه‌های پل مستقیم با استفاده از منحنی‌های شکنندگی نیروهای هارمونیک و ارائه معیاری جهت نمایش همبستگی منحنی‌های شکنندگی در حالت‌های سالم و آسیب‌دیده می‌باشد و برای دستیابی به این اهداف یک مدل کامل پل مستقیم در نرم‌افزار تخصصی طراحی‌پل، CSI Bridge مدل‌سازی شده و در ادامه صحت سنجی شده است. جهت ترسیم منحنی‌های شکنندگی نیروهای هارمونیک ابتدا نیروهای هارمونیک به بالای ستون منتخب اعمال شدند و سپس چرخش‌های ایجاد شده که در پایین ستون اندازه‌گیری شدند و با توجه به داده‌های بدست‌آمده و با استفاده از روابط مربوطه، منحنی‌های شکنندگی رسم شدند و شاخص شدت بیشینه‌ی نیرو و شاخص خسارت چرخش رخداده در پایین ستون و سطح عملکرد تعریف شده فرآگذشت از حالت خطی از مشخصات این منحنی‌های شکنندگی می‌باشد و برای رسم منحنی شکنندگی در حالت آسیب‌دیده نیز ابتدا نیروی زلزله موردنظر به پل اعمال شد و سپس نیروهای هارمونیک به بالای ستون موردنظر اعمال شدند. نتایج این تحقیق نشان می‌دهند که منحنی‌های شکنندگی نیروهای هارمونیک با توجه به مشخصات تعریف شده، در حالت‌های سالم و آسیب‌دیده جزئی به خوبی رسم شده‌اند و آسیب‌های جزئی با شدت‌های مختلف، به درستی تشخیص داده شده‌اند. جهت بررسی همبستگی منحنی‌های شکنندگی نیروهای هارمونیک در دو حالت آسیب‌دیده و سالم نیز دو معیار جدید PCOMAC و PDI معرفی شدند و عملکرد این دو معیار جدید ارائه شده بررسی شدند.

**واژگانکلیدی:** پایش سلامت، تشخیص خسارت، پایه‌های پل، منحنی‌های شکنندگی.

## ۱- مقدمه و تاریخچه تحقیقات

امروزه زیرساخت بخش حمل و نقل مستقیماً به پیشرفت اقتصادی یک کشور مرتبط می‌باشد و پل‌ها به خاطر عملکردشان بسیار مورد توجه قرار گرفته‌اند. پل‌ها به علت افزایش سن و حوادثی مانند زلزله دچار آسیب و کاهش اینمی می‌شوند و هدف سلامت سنجی پل‌ها تعیین شرایط موجود پل و پیدا کردن آسیب‌های موجود در پل‌ها می‌باشد [1].

طبق گزارش منتشرشده مربوط به سازمان حمل و نقل آمریکا در سال ۲۰۱۳ حدود ۱۱ درصد پل‌های آمریکا دچار نقص‌های سازه‌ای هستند و پل‌های دارای نقص‌های سازه‌ای شدیداً نیاز به بازسازی دارند [2]. در ضمن طبق گزارش‌های منتشرشده از زلزله‌های شدید اخیر مانند زلزله ۱۹۹۴ نورث‌ریچ<sup>۱</sup>، زلزله ۱۹۹۹ چی چی<sup>۲</sup>، زلزله ۲۰۰۸ و نچوان<sup>۳</sup> و زلزله ۲۰۱۰ شیلی<sup>۴</sup>، بسیاری از پل‌ها پس از زلزله دچار انواع آسیب سازه‌ای شده بودند [3].

آسیب‌های لرزه‌ای در پل‌ها به شرح زیر می‌باشد:

- زلزله ۱۹۹۴ نورث‌ریچ در کالیفرنیا رخ داد باعث خرابی هفت پل بزرگراه و آسیب دیدن ۱۷۰ پل دیگر شد.

- در زلزله سال ۱۹۹۱ چی چی، خسارات ایجاد شده در پل‌های بزرگراه، بسیار برجسته بودند. تقریباً ۱۰٪ از موجودی پل در منطقه لرزه‌ای، آسیب‌های متوسط تا بزرگی را تجربه کردند. بیشتر پل‌های آسیب‌دیده در شعاع ۱۰ کیلومتری گسل زلزله، واقع شده بودند [3].

- طی زلزله سال ۲۰۰۸ و نچوان، زیرساخت‌های حمل و نقل در این منطقه به شدت آسیب‌دیده و جاده‌ها و پل‌های متعددی آسیب دیدند. از آنجاکه منطقه موردنظر یک منطقه کوهستانی بوده است. پل‌های بزرگراهی نقش بسیار مهمی در بحث حمل و نقل منطقه ایفا می‌کردند. گزارش شده است که ۶۱۴۰ پل در ۲۴ مسیر ضروری به درجات مختلف آسیب‌دیده‌اند که در میان آن‌ها نزدیک به ۱۶۰۰ پل متحمل خسارات گسترده‌ای شده‌اند.

1 Northridge

2 Chi chi

3 Wenchuan

4 Chile

برای اولین بار آفای وست<sup>۳</sup> از معيار<sup>۴</sup> MAC برای تشخیص آسیب در بال یک سفینه‌ی آسیب‌دیده استفاده کرد، شکل مودها از آزمایش بارگذاری آکوستیک به دست آمده بودند. شکل مودها بخش‌بندی می‌شوند و تغییر ایجاد شده در ضربیت اطمینان مودی در طول استفاده از روش‌های تفکیک‌کننده متفاوت، برای مکان‌بایی آسیب و تشخیص آن استفاده می‌شوند[12].

روش DI به سیله‌ی استباس و همکاران پیشنهاد شد که بر اساس تغییرات انرژی کرنشی ذخیره شده در یک پل فلزی، زمانی که در یک شکل مود خاص تغییر فرم می‌دهد را محاسبه می‌کند در این روش با توجه به تغییرات انرژی کرنشی مودال در سازه‌ی سالم و آسیب‌دیده تشخیص آسیب صورت می‌گیرد [13].

آقای شه<sup>۰</sup> و همکاران در پژوهشی عمدتی روش‌های  
شناسایی آسیب بهوسیله خصوصیات مودال سازه (فرکانس  
طبيعي و شکل مد و میرايري) مورد مقاييسه قراردادند آن‌ها در  
اين پژوهش از يك مدل ساده‌ي تير استفاده كردند نتائج اين  
تحقيق پذيرن صورت موي باشند:

روش تغییر فرکانس طبیعی و روش معیار اطمینان مودی (COMAC) و روش معیار اطمینان مودی مختصاتی (Mac) حضور آسیب را تشخیص داده‌اند اما در شناسایی محل آسیب ناموفق بودند. روش شاخص خسارت (DI) در شناسایی محل خسارت به صورت منفرد و چندگانه به خوبی عمل کرده است [14].

همچنین آقای دیکسیت<sup>۶</sup> و همکاران با توجه به بررسی روش‌های شناسایی آسیب برای تشخیص آسیب در یک تیر به این نتیجه رسیدند که استفاده از روش‌های مربوط به تغییرات انرژی کرنشی مودال در مقایسه با فرکانس طبیعی سازه و شکل مود و شکل انجنا، نتایج دقیق‌تری در مورد آسیب ایجادشده در سازه ایله م‌کنند [۱۵].

تحقیقات زیادی در زمینه پایش سلامت با استفاده از فرکانس طبیعی انجام شده است که ثابت می‌کند آسیب در سازه موجب کاهش در فرکانس‌های طبیعی آن می‌شود و از مزیت‌های این روش این می‌باشد که سنجش و اندازه‌گیری فرکانس طبیعی آسان می‌باشد [7].

از ایرادات این روش این می‌باشد که این روش بیشتر مناسب تشخیص آسیب سازه‌های کوچک در شرایط آزمایشگاهی می‌باشد و برای تشخیص آسیب‌های متعدد سازه‌های پیچیده این روش قابل اعتماد نمی‌باشد [8].

آقای کیم<sup>۱</sup> و همکاران برای پایش سلامت پل صفحه از شاخصی استفاده کرده‌اند که در این شاخص جهت تشخیص آسیب از تغییرات فرکانس طبیعی استفاده شده است که در این روش دریکی از سناریوهای شاخص در تشخیص آسیب کوچک دچار خطا شد و آسیب جزئی تشخیص داده نشد [۹].

در تحقیق مربوط به آقای زو<sup>۲</sup> و همکاران در مورد استفاده از روش فرکانس طبیعی، در مواردی حتی آسیب‌های گستردۀ به خوبی تشخیص داده نشد زیرا فرکانس‌های پل در مواردی نسبت به آسیب‌ها غیر حساس بودند [10].

-۲-۱-۱-۱ روشهای مبتنی بر شکل مودی

در این روش‌ها، تشخیص مکان آسیب بسیار بهتر انجام می‌شود اما این روش‌ها به تعداد مودهای در نظر گرفته شده وابسته می‌باشند. در این روش‌ها در مودهای پایین دقت تشخیص آسیب کاهش پیدا می‌کند و بهشدت تحت تأثیر شرایط محیطی و عملیاتی قرار می‌گیرد و در مودهای بالاتر هم برای اطمینان از دقت پایش سلامت نیاز به یک شبکه متراکمی از حسگرها می‌باشد [11].

3 West  
4 Modal Assurance Criterion  
5 Shah  
6 Dixit

1 Kim  
2 Zhou

در پژوهشی آقای سان<sup>2</sup> و همکاران از یک مدل<sup>3</sup> AR مناسب با تاریخچه شتاب به یک ستون بتنی پل آسیب‌دیده و سالم اختصاص داده است و ضرایب مدل AR به عنوان ویژگی حساس به آسیب در نظر گرفته شده است، سپس با مقایسه ضرایب، تشخیص آسیب انجام شده است [19].

در مقاله‌ای آقای بیات و همکاران از روش پردازش سیگنال در حوزه‌ی فرکانس استفاده کردند، در این پژوهش، از روشنی مبتنی بر یک الگوریتم جدید بر اساس تابع چگالی طیفی توان و روش فاصله مربع حداقل به تشخیص آسیب در ستون‌های یک پل با دهانه‌های ساده پرداخته شده است و در این روش آسیب در ۵ سناریو در نظر گرفته شده است و در هر ۵ سناریو آسیب به خوبی تشخیص داده شده است [20].

در رساله‌ای که توسط آقای احمدی و همکاران ارائه شده است به بررسی آسیب‌های لرزه‌ای در پایه‌های پل‌ها پرداخته شده است در این پژوهش ابتدا ۶ تابع زمان فرکانس بررسی شده‌اند و تابع توزیع تداخلی کاهش‌یافته به عنوان بهترین تابع برای تحلیل و بررسی سیگنال‌های دریافتی از پایه پل موردنظر انتخاب شده است و سپس با اعمال نیروی‌های زلزله‌ای انتخابی بر روی مدل‌های طراحی شده در نرم‌افزار SAP2000، آسیب‌پذیرترین پایه پل جهت مدل‌سازی آسیب برای اعمال نیروی هارمونیک انتخاب شده است [1].

آقای اوансو<sup>4</sup> و همکاران عملیات پایش سلامت در یک تیر و یک قاب را با استفاده از روش تبدیل موجک پیوسته و گسته انجام دادند، این روش به گونه‌ای مبتنی باشد که آسیب به صورت یک اغتشاش در پاسخ سازه خودش را نشان می‌دهد که البته این بی‌نظمی و آشفتگی در پاسخ استخراج شده از سازه قابل تشخیص نمی‌باشد و با توجه به ضرایب تبدیل موجک پیوسته و یا سیگنال جزئی موجک گسته این آشفتگی را می‌توان تشخیص داد. در این روش موقعیت آسیب با دقت بالای قابل تشخیص می‌باشد [21].

میرایی یکی از پارامترهای مodal سازه می‌باشد که به عنوان شاخص آسیب به کار می‌رود، مبانی این روش بر اساس این می‌باشد که وقتی سازه دچار آسیب می‌شود میرایی افزایش پیدا می‌کند. از ایرادهای این روش، پیچیدگی تعیین ضریب میرایی برای سازه‌های بزرگ و نامنظم می‌باشد و از مزیت‌های این روش این می‌باشد که می‌تواند اثرات غیرخطی مربوط به آسیب را تشخیص دهد [6].

آقای کیوردلی<sup>1</sup> و همکاران با استفاده از تبدیل موجک روشنی برای استخراج فرکانس و میرایی از ارتعاش آزاد سازه ارائه کردند و در ادامه با توجه به تغییرات فرکانس و میرایی به تشخیص آسیب در مدل عددی و آزمایشگاهی پرداختند و نتایج این پژوهش نشان داد که میرایی در مقایسه با فرکانس طبیعی از حساسیت بالاتری در مقابل آسیب برخوردار می‌باشد [16].

### -۳-۱-۱-۱ روش‌های مبتنی بر توابع پاسخ فرکانس

در روش‌های مبتنی بر توابع پاسخ فرکانس، محل آسیب تشخیص داده می‌شود و این روش‌ها می‌توانند اطلاعات بیشتری در مورد آسیب فراهم کنند چراکه در کل محدوده، فرکانس محاسبه می‌شود و از مشکلات این روش انتخاب محدوده فرکانس بهینه می‌باشد و این‌که نیاز به اندازه گیری نیروی تحریک می‌باشد [17].

از مزیت‌های این روش این می‌باشد که نیاز به توسعه یک مدل عددی از سیستم ارتعاشی ندارد، زیرا به طور مستقیم با داده‌های تجربی کار می‌کند [18].

### -۱-۲-۱-۱-۱-۱ مروری بر روش‌های تشخیص خسارت مبتنی بر پردازش سیگنال

در این روش‌ها پردازش سیگنال صورت می‌گیرد. در این روش‌ها از نقاط مختلف سازه داده‌هایی ثبت می‌شوند و ویژگی‌های مرتبط با آسیب از داده انتخاب می‌شود که با توجه به این‌که در این روش‌ها با حجم زیادی از داده و اطلاعات رویرو هستیم، متراکم سازی و تفسیر این داده‌ها از اهمیت بسیار بالایی برخوردار می‌باشد [6].

2 Sohn

3 Auto-Regressive

4 Ovanesova

تشخیص داده می‌شوند. از مزیت‌های الگوریتم یادگیری ماشین ناظارت شده این می‌باشد که می‌تواند آسیب را بدون اطلاعات دریافتی از پل سالم و تنها با داشتن اطلاعات حاصل از پل آسیب‌دیده تشخیص دهد [23].

## ۲-۱- منحنی شکنندگی

از نوآوری‌های این مقاله این می‌باشد که کاربرد منحنی‌های شکنندگی در بحث پایش سلامت سازه‌ها بررسی شده است. جهت آشنایی بیشتر با این منحنی‌ها و کاربرد این منحنی‌ها، چند پژوهش در این بخش بررسی شده است.

از نمونه تحقیقات معتبر سال‌های اخیر، پژوهش آقای بیات و همکاران می‌باشد، در این پژوهش شرح داده شده است که در اکثر مطالعات مربوط به بررسی عملکرد لرزه‌ای سازه‌ها با منحنی شکنندگی، از معیارهای شدت PGA<sup>۵</sup> (شتاب بیشینه شدت لرزه‌ای) و Sa<sup>۶</sup> (شتاب طیفی مود اول سازه) برای رسم منحنی‌های IDA استفاده می‌شود، در این پژوهش این دو معیار از نظر کارایی و کاربردی بودن و کفايت مورد بررسی قرار می‌گیرد، این پژوهش بر روی دو مدل پل مستقیم و مورب انجام شده است و معیاری بهینه‌تر نسبت به دو معیار قبلی برای پل، در حالت مورب پیشنهاد می‌شود و ثابت می‌شود که معیار جدید ASA<sup>۷</sup> (متوسط شتاب طیفی) باعث کاهش پراکندگی و افزایش کارایی در نتایج منحنی‌های IDA می‌شود [24].

آقای رن<sup>۸</sup> و همکاران طی تحقیقی با توجه به مدل‌سازی یک پل شاه‌تیر سه دهانه در نرم‌افزار، معیار حدی مربوط به رسم منحنی‌های شکنندگی را طبق منطق فازی ریاضیات اصلاح کرده‌اند که طبق این معیار، منحنی‌های شکنندگی بسیار دقیق‌تر رسم می‌شوند و بدون در نظر گرفتن معیارهای اصلاح شده فازی، شکنندگی بالقوه لرزه‌ای اجزا و سیستم پل دست‌کم گرفته می‌شود [25].

در تحقیقی که آقای آلم و همکاران انجام داده‌اند با استفاده منحنی‌های شکنندگی، به ارزیابی خطر لرزه‌ای یک برج آب

## ۱-۱-۳- مرواری بر روش‌های مبتنی بر هوش مصنوعی در تشخیص خسارت

در این روش‌ها اغلب حس‌گرهایی بر روی سازه موردنظر نصب می‌شوند و اطلاعات و داده‌های مربوط به آن سازه در حافظه دستگاه ذخیره می‌شود. از جمله مزیت‌های استفاده از روش‌های هوش مصنوعی در پایش سلامت پل می‌توان به تجزیه و تحلیل داده‌های فراوان اشاره کرد و این روش برای پایش سلامت پل‌های بزرگ بسیار کاربردی می‌باشد و این‌که از معایب این روش این می‌باشد که پس از استخراج داده‌های خام از سازه موردنظر، نیاز به یک غربالگری و بهینه‌سازی از داده‌های بدست‌آمده از پل می‌باشد و که کار بسیار مشکلی می‌باشد که در روش CNNs<sup>۹</sup> این عملیات به صورت مستقیم انجام می‌شود و داده‌های موردنظر دیگر نیاز به غربالگری ندارند اما زمان آموزش و استفاده از این روش بسیار بالا می‌باشد [22].

آقای دان<sup>۲</sup> و همکاران، روشی بر مبنای الگوریتم سری زمانی چند متغیره را ارائه کردند که یادگیری و کار با آن بسیار آسان می‌باشد و در این روش نیاز به غربالگری دستی بر روی داده‌های بدست‌آمده نمی‌باشد، همچنین در این روش دقت عملکرد اندازه‌گیری حس‌گرها بسیار بالا می‌باشد و اگر حس‌گر به تعداد کافی نیز موجود نباشند می‌توان با کاهش تعداد حس‌گر و با استفاده از روش PSO - FESNs<sup>۱۰</sup> داده‌های بدست‌آمده را بهینه کرد [22].

طی مقاله‌ای آقای اسوندسن<sup>۳</sup> و همکاران کارایی الگوریتم یادگیری ماشین بدون ناظارت را برای پایش سلامت پل فلزی واقعی بررسی می‌کنند و کارایی این روش را با چهار الگوریتم یادگیری ماشین ناظارت شده مقایسه می‌کنند و نتایج نشان می‌دهد که از این الگوریتم می‌تواند همانند الگوریتم‌های ناظارت شده، کارآمد باشد و آسیب را به خوبی تشخیص دهد و این پژوهشگر ثابت می‌کند که آسیب‌های سازه‌ای پل‌های فلزی که عمدتاً ناشی از خستگی می‌باشد به خوبی با این روش

5 Peak ground Acceleration

6 Spectral Acceleration

7 Average Spectral Acceleration

8 Ren

1 Convolutional neural networks

2 Dan

3 particle swarm optimization-functional echo state networks

4 Svendsen

- ۲- انتخاب ضریب مقیاس
- ۳- انتخاب معیار مناسب برای شدت IM و محاسبه‌ی آن برای ضریب مقیاس‌های مختلف
- ۴- انتخاب معیار مناسب برای نیاز مهندسی EDP
- ۵- انجام تحلیل دینامیکی تاریخچه زمانی برای هر سطح مقیاس شدت
- ۶- پردازش اطلاعات به‌دست‌آمده و رسم منحنی‌های IDA [28]

### ۳-۲- انتخاب یک و یا مجموعه‌ای از نیروهای ارتعاشی برای تحلیل IDA

در این پژوهش برای تشخیص آسیب در پایه پل از نیروهای هارمونیک استفاده شده و از بین نیروی هارمونیک توابع سینوسی استفاده شده است، منحنی‌های هارمونیک سینوسی در قسمت پایین نمایش داده شده‌اند که معادله‌ی این دو نمودار در اشکال ۱ و ۲ این بخش نمایش داده شده‌اند و فرض شده است که نیروهای هارمونیک توسط موتور محرک به قسمت بالای ستون پل اعمال شده‌اند و برای جلوگیری از پدیده‌ی تشدید فرکانس نیروی هارمونیک اعمالی با فرکانس طبیعی پل متفاوت می‌باشد.

شکل ۱- منحنی نیروی هارمونیک شماره ۱

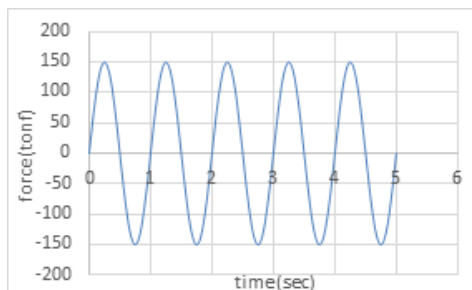


Fig. 1. Harmonic force curve number 1

شکل ۲- منحنی نیروی هارمونیک شماره ۲

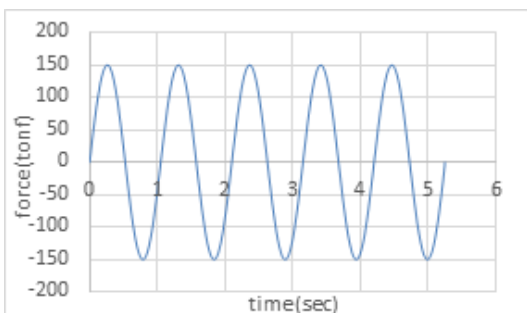


Fig. 2. Harmonic force curve number 2

گیر از بزرگ‌ترین مخازن موجود در منطقه پرداخته است؛ که ارزیابی خطر لرزه‌ای این برج آبگیر، نقش بسیار مهمی در مدیریت خطر مخزن در شرایط بحرانی دارد. در این تحقیق خطر لرزه‌ای با بهروزرسانی توابع شکنندگی با استفاده از استنتاج بیزی<sup>۱</sup> و شبیه‌سازی MCMC<sup>۲</sup> ارزیابی می‌شود. با بهروزرسانی منحنی شکنندگی به‌دست‌آمده از ترکیب نتایج تحلیل، کاهش قابل توجه عدم قطعیت در ناحیه باند اطمینان ۹۵ درصدی نشان داده می‌شود.

[26]

## ۲- مبانی نظری

در این بخش در مورد مبانی و مفاهیم مورداستفاده که در بخش‌های بعدی مقاله، مباحثی نگارش شده است، این پژوهش در مورد کاربرد منحنی‌های شکنندگی در بحث پایش سلامت می‌باشد لذا ابتدا روش تحلیل دینامیکی فزاینده معرفی شده است و در مورد تعاریف و مراحل این روش و معیارهای شدت و معیار نیاز و منحنی شکنندگی و سطوح عملکرد مباحثی عنوان شده است.

همچنین در قسمت آخر این بخش مبانی نظری روش معیار اطمینان مودی مختصاتی (COMAC) و معیار نشانه آسیب (DI) شرح داده شده است و سپس با ارتقاء معیارهای ذکر شده، دو معیار جدید نشانه آسیب ارتقاء یافته (PDI) و معیار اطمینان مودی مختصاتی ارتقاء یافته (PCOMAC) جهت نمایش همبستگی منحنی‌های شکنندگی نیروهای هارمونیک ارائه شده‌اند.

### ۱-۲- روش تحلیل دینامیکی فزاینده (IDA<sup>۳</sup>)

در روش تحلیلی دینامیکی فزاینده رفتار سازه و اجزای آن در برابر شدت‌های مختلف سنجیده می‌شود و استفاده از این منحنی‌ها روشی برای محاسبه‌ی تقاضا و ظرفیت سازه می‌باشد

[28]

### ۲-۲- مراحل روش IDA

- ۱- انتخاب یک یا مجموعه‌ای از نیروها برای تحلیل IDA

1 Bayesian

2 Markov Chain Monte Car

3 Incremental Dynamic Analysis

## ۷-۲- تعیین سطح عملکرد برای منحنی‌های شکنندگی نیروهای هارمونیک

جهت تعیین سطح عملکرد سازه و این که بتوان اطلاعات مربوط به منحنی‌های شکنندگی را به درستی تحلیل و ارزیابی نمود، نیاز می‌باشد که محدوده و یا ملاحظات خاصی در نظر گرفته شود که با رسیدن منحنی‌ها به این محدوده‌ها بتوان عملکرد سازه را تعیین نمود [27].

شکل ۳- منحنی ممان-چرخش مربوط به مفصل پایین ستون منتخب

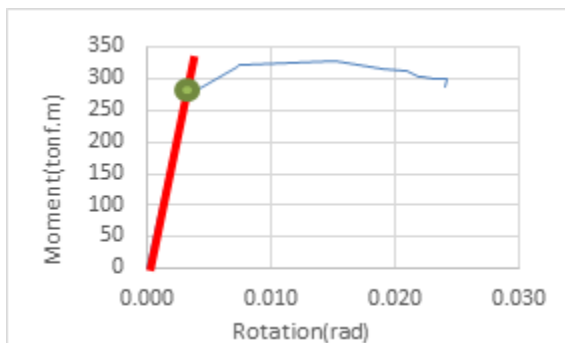


Fig. 3. The moment-rotation curve corresponding to the bottom joint of the selected column

سطح عملکرد موردنظر برای پایه پل با توجه به موضوع تحقیقاتی این پژوهش، نقطه‌ی فراگذشت از حالت خطی می‌باشد، این نقطه برابر چرخش ایجادشده در مفصل یعنی  $0.003\pi$  رادیان در نظر گرفته شده است که مطابق با منحنی ممان-چرخش ارائه شده در شکل ۳ این نقطه به صورت دقیق نمایش داده شده است و با در نظر گرفتن این سطح عملکرد، منحنی‌های شکنندگی پایه سالم و آسیب‌دیده رسم شده‌اند. این روند تعریف نقطه‌ی عملکردی در مرجع [29] نیز انجام شده است.

## ۸-۲- ارائه معیارهایی جهت کمی سازی همبستگی منحنی‌های شکنندگی نیروهای هارمونیک در حالت‌های سالم و آسیب‌دیده

برای کمی سازی همبستگی منحنی‌های شکنندگی نیروهای هارمونیک در حالت‌های سالم و آسیب‌دیده از روش‌های مربوط به تشخیص آسیب مبنی بر خصوصیات مodal سازه استفاده شده است. در این روش‌ها به جای مشخصات مodal

## ۴-۱- معیار شدت IM<sup>۱</sup>

با توجه به این‌که موضوع این تحقیق در رابطه با نیروهای هارمونیک می‌باشد و کاربرد این نیروها در بحث پایش سلامت، در این پژوهش از شاخص شدت بیشینه‌ی نیروی هارمونیک برای رسم منحنی‌های شکنندگی نیروهای هارمونیک استفاده شده است.

## ۵-۲- پارامتر نیاز EDP<sup>۲</sup>

شاخص نیاز مهندسی که در این پژوهش به کاررفته است شاخص چرخش رخداده در پایین ستون می‌باشد و منحنی‌های شکنندگی‌های نیروهای هارمونیک با توجه به این شاخص رسم شده‌اند.

## ۶-۲- منحنی‌های شکنندگی

این منحنی‌ها احتمال عبور پارامتر نیاز مهندسی از سطوح عملکردی به ازای مقدار مشخصی از نیرو بیان می‌کنند که با استفاده از این منحنی‌ها به خوبی می‌توان اثر عدم قطعیت مشخصات زمین‌لرزه‌ها و سایر عدم قطعیت‌های مربوط به پارامترهای طراحی بر روی رفتار سازه و مقدار خسارت وارد شده به خوبی بررسی می‌شود [27].

تابع توزیع در نظر گرفته شده برای رسم منحنی‌های شکنندگی تابع توزیع لوگ نرمال می‌باشد که منحنی‌ها با استفاده از این تابع، احتمال تجاوز از مقدار تعیین شده‌ی به ازای مقدار مشخصی از شدت را محاسبه می‌کنند.

رابطه‌ی تولید منحنی‌های شکنندگی در قسمت زیر نمایش داده شده است [27]:

$$P[\text{collapse}|IM] = \varphi \left[ \frac{\ln(IM) - \ln(\mu)}{\sigma} \right] \quad (3)$$

در رابطه‌ی بالا IM معیار شدت و  $\mu$  میانگین نیاز مهندسی  $\sigma$  انحراف معیار نیاز مهندسی

1 Intensity Measure

2 Engineering Demand Parameter

$$\beta_{ji} = \frac{\left(FR_{ji}^*\right)^2 + \sum_{k=1}^m (FR_{ki}^*)^2}{\left(FR_{ji}\right)^2 + \sum_{k=1}^m (FR_{ki})^2} \times \frac{\sum_{k=1}^m (FR_{ki})^2}{\sum_{k=1}^m (FR_{ki}^*)^2} = \frac{NMU_{ji}}{DEN_{ji}} \quad (v)$$

$$\beta_{ji} = \frac{\sum_{i=1}^n NMU_{ji}}{\sum_{i=1}^n DEN_{ji}} \quad (8)$$

$$Z_j = (\beta_j - \mu_\beta) / \sigma_\beta \quad (9)$$

## ۲-۸-۲-بررسی روش معیار اطمینان مودی مختصاتی (COMAC<sup>۰</sup>) و ارائه روش معیار اطمینان مودی مختصاتی ارتقاء یافته (PCOMAC<sup>۱</sup>)

روش معیار اطمینان مودی مختصاتی و روش معیار اطمینان مودی با استفاده از شکل مودهای سازه موردنظر آسیب را تشخیص می‌دهند و این دو معیار بیانگر همبستگی بین دو شکل مود سازه می‌باشند. مقدار معیار اطمینان مودال بین ۰ و ۱ محدود می‌شود، ۱ نشان‌دهنده شکل حالت کاملاً سازگار و شبیه به هم می‌باشد و مقدار نزدیک به ۰ نشان‌دهنده حالتی می‌باشد که از همبستگی دور شده است و دو نمودار با یکدیگر متفاوت می‌باشند [30].

روش PCOMAC برای نمایش تفاوت بین منحنی‌های شکنندگی سالم و آسیب‌دیده بررسی شده است. در این بخش به جای مشخصات مربوط به شکل مود سازه، از عبارت‌های  $FR_{ir}^B$  و  $FR_{ir}^A$  که بیانگر احتمال فراگذشت از حالت حدی در  $\alpha$  میزان آسیب‌دیدگی و در شماره شدت مقیاس شده  $r$  برای منحنی شکنندگی سالم و آسیب‌دیده می‌باشد که شاخص PCOMAC عددی بین صفر و یک می‌باشد که هرچقدر شاخص به عدد ۱ نزدیک‌تر باشد نشان‌دهنده حالتی می‌باشد که نمودارهای حالت سالم و آسیب‌دیده به یکدیگر نزدیک‌تر می‌باشند که در این حالت دچار آسیب کمتری شده است و عدد ۰ نشان‌دهنده این می‌باشد که منحنی‌های شکنندگی نیروهای هارمونیک فاصله‌ی آن‌ها از هم بیشتر می‌باشد و این به معنی این می‌باشد که سازه دچار آسیب شدیدتر شده است البته کارآمدی روش آسیب شدیدتر شده است.

سازه از شاخص احتمال فراگذشت مربوط به منحنی‌های شکنندگی نیروهای هارمونیک استفاده شده است.

## ۲-۸-۳-بررسی روش نشانه آسیب (DI<sup>۱</sup>) و ارائه روش نشانه آسیب ارتقاء یافته (PDI<sup>۲</sup>)

در روش نشانه آسیب، تغییرات انرژی کرنشی ذخیره شده در سازه را وقتی که در یک‌شکل مود خاص تغییر فرم می‌دهد محاسبه می‌شود [12].

در روش نشانه آسیب عبارت‌های  $\emptyset_i^{**}$  و  $\emptyset_i^{**}$  نشان‌دهنده‌ی توابع انحنای شکل مودی برای مود  $\alpha$  در فاصله‌ی  $X$  در طول تیر برای حالت سالم و برای حالت آسیب‌دیده می‌باشد که در این بخش می‌بایست برای بررسی تفاوت‌ها، از داده‌هایی که با آن‌ها منحنی شکنندگی رسم می‌شوند استفاده شود، برای همین به جای توابع انحنای شکل مودی از اعداد مربوط به احتمال فراگذشت از حالت حدی استفاده شده است و در این بخش عبارت‌های  $\emptyset_i^{**}$  و  $\emptyset_i^{**}$  از

عبارت‌های  $jz$  و  $FR_{ji}^*$  استفاده شده است و  $\alpha$  میزان آسیب‌دیدگی می‌باشد و  $\alpha$  شماره شدت مقیاس شده به کاررفته می‌باشد که با توجه به تغییرات صورت گرفته نیز نام روش نشانه آسیب  $DI^3$  به روش  $PDI^4$  تغییر یافته است و هر مقدار  $PDI$  عدد بزرگ‌تری را نشان دهد این به معنی این می‌باشد که سازه دچار آسیب شدیدتری شده است البته کارآمدی روش ارائه شده در قسمت‌های بعدی بررسی شده است.

$$\beta_{ji} = \frac{(\emptyset_{ji}^{**})^2 + \sum_{k=1}^m (\emptyset_{ki}^{**})^2}{(\emptyset_{ji}^{**})^2 + \sum_{k=1}^m (\emptyset_{ki}^{**})^2} \times \frac{\sum_{k=1}^m (\emptyset_{ki}^{**})^2}{\sum_{k=1}^m (\emptyset_{ki}^{**})^2} = \frac{NMU_{ji}}{DEN_{ji}} \quad (4)$$

$$\beta_{ji} = \frac{\sum_{i=1}^n NMU_{ji}}{\sum_{i=1}^n DEN_{ji}} \quad (5)$$

$$Z_j = (\beta_j - \mu_\beta) / \sigma_\beta \quad (6)$$

1 Damage Index

2 Progressive Damage Index

3 Damage Index

4 Progressive Damage Index

شکل ۴- جزئیات عرضه پل

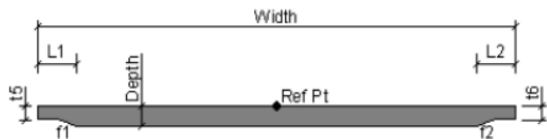


Fig. 4. Bridge deck detail

نمونه‌ی کاملی از مدل<sup>(۳)</sup> که در نرم‌افزار CSIBridge طراحی شده در شکل ۵ نمایش داده شده است.

شکل ۵- نمایش سه‌بعدی کامل پل مدل‌سازی شده

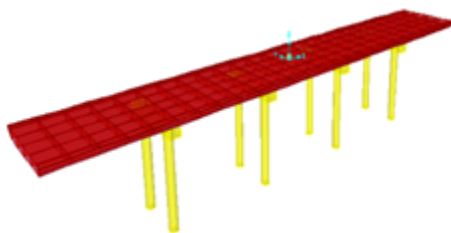


Fig. 5. Full 3D view of modeled bridge

برای صحت سنجی اعتبار مدل طراحی با مدل مرجع [31]، زمان تناوب این مدل استفاده شده با زمان تناوب مدل مرجع مقایسه شده است که در جدول ۲ نتایج این صحت سنجی ارائه شده است.

جدول ۲- مقایسه زمان تناوب مدل مرجع با مدل استفاده شده

Row	Record name	Event time	PGA(g)	Mw	Fault mechanism	Vs30(m/s)
1	Northern Calif	1975	0.115	5.2	sliding	576
2	Kocaeli	1999	0.26	7.51	sliding	796
3	Varzaqan	2012	0.43	6.2	sliding	475

Table 2. Comparing the period of the reference model with the used model

همان‌طور که از نتایج به دست آمده از جدول ۲ مشخص می‌باشد که درصد تفاوت مربوط به زمان تناوب در مدل استفاده شده و مدل مرجع حداکثر ۳ درصد می‌باشد که قابل قبول می‌باشد که خود نشان‌دهنده‌ی صحت و دقیق بالای مدل‌سازی می‌باشد.

#### ۴- مشخص کردن آسیب‌پذیری ستون ستون پل

برای پیدا کردن ستونی که بیشتر از همه مستعد آسیب می‌باشد و درصد آسیب‌پذیری در پایه پل می‌باشد که رکورد

$$\text{COMAC}(i) = \frac{(\sum_{r=1}^m \phi_{ir}^A \phi_{ir}^B)^2}{(\sum_{r=1}^m \phi_{ir}^A \phi_{ir}^A)(\sum_{r=1}^m \phi_{ir}^B \phi_{ir}^B)} \quad (10)$$

$\phi_{ir}^A$ : شکل‌های مودی در مختصات  $i$  و در مود  $r$  برای سازه سالمند

$\phi_{ir}^B$ : شکل‌های مودی در مختصات  $i$  و درشت مقیاس شده برای سازه آسیب‌دیده

$$\text{COMAC}(i) = \frac{(\sum_{r=1}^m \phi_{ir}^A \phi_{ir}^B)^2}{(\sum_{r=1}^m \phi_{ir}^A \phi_{ir}^A)(\sum_{r=1}^m \phi_{ir}^B \phi_{ir}^B)} \quad (3)$$

$FR_{ir}^A$ : شاخص احتمال فراگذشت از حالت حدی  $i$  و درشت مقیاس شده برای سازه سالمند

$FR_{ir}^B$ : شاخص احتمال فراگذشت از حالت حدی  $i$  و درشت مقیاس شده برای سازه آسیب‌دیده

### ۳- مدل سازی

در این تحقیق از پل با مقطع بتنی استفاده شده است این پل دارای ۸ پایه می‌باشد عرض کلی عرضه ۱۱/۸ متر می‌باشد و عرضه به شکل دال درجا مدل‌سازی شده است و عرض عرضه دارای ۱۱ متر سواره رو می‌باشد و تعداد دهانه‌های این عرضه ۵ عدد می‌باشد که برای مدل‌سازی کامل عرضه از ۲۰۰ المان Shell استفاده شده است. پایه‌های میانی این مدل پل از دو قسمت ستون و سرستون تشکیل شده است که هر سرستون از دو ستون دایره‌ای شکل به قطر ۱.۲ متر تشکیل شده است. سرستون موردنظر از جنس بتن می‌باشد که طول آن ۹.۸ متر و عرض آن ۱.۵ متر و ضخامت آن ۱ متر می‌باشد و ارتفاع آن تا ۱۰ متر زیر سرستون است و ستون‌ها و سرستون‌ها توسط المان frame مدل‌سازی شده است. در این مدل‌سازی برای اتصال بین ستون و سرستون و اتصال عرضه به سرستون از المان‌های link استفاده شده است که اتصال این اعضا در کلیه درجات آزادی صلب در نظر گرفته شده است. در ادامه در جدول ۱ جزئیات عرضه پل نگارش شده است که در شکل ۴ جزئیات عرضه به پل به صورت جزئی نمایش داده شده است.

جدول ۱- مشخصات عرضه پل [31]

$$L_1=L_2=1\text{m} \quad t_5=t_6=0.3\text{m} \quad f_1=f_2=0.6\text{m} \quad \text{Depth}=0.85\text{m}$$

Table 1. Characteristics of the bridge deck [31]

جدول ۳- مشخصات زلزله‌های اعمال شده به پل

Percentage difference	period in the used model	period in the reference model	number of mode
1	0.78	0.79	1
2	0.38	0.39	2
0	0.192	0.192	3
1.3	0.188	0.1906	4
3	0.169	0.175	5

Table 3. Characteristics of earthquakes applied to the bridge

شکل ۶- نمایش نام‌گذاری پایه‌های پل

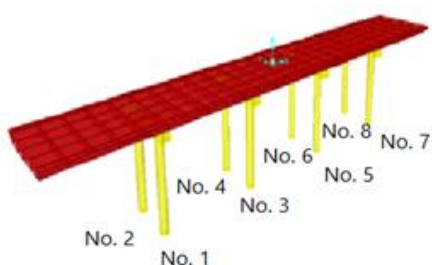


Fig. 6. Showing the naming of bridge piers

در شکل ۶ تمامی پایه‌های مدل شده در نرم‌افزار برای بررسی دقیق‌تر، نام‌گذاری شده‌اند که در ادامه در جدول ۴ میزان آسیب‌های ایجادشده در پایه پل‌ها در اثر زلزله نمایش داده شده است.

همان‌طور که از داده‌های نمایش داده شده در جدول ۴ مشاهده می‌شود، بیشترین آسیب ناشی از زلزله در قسمت ستون‌های میانی یعنی ستون‌های شماره ۳ و ۴ و ۵ و ۶ اتفاق افتاده است و آسیب کمتر در ستون‌های ابتدایی و انتهایی یعنی ستون‌های شماره ۱ و ۲ و ۷ و ۸ ایجادشده است و نتایج به دست آمده در این بخش برای هر سه زلزله به صورت کلی نزدیک به هم هستند، درنتیجه ستون‌های میانی برای مدل‌سازی آسیب و بحث پایش سلامت در اولویت می‌باشند و یکی از این پایه‌ها در قسمت‌های بعدی این پژوهش بررسی شده است.

زمین‌لرزه به مدل پل اعمال شود و تحلیل تاریخچه زمانی غیرخطی انجام شود با توجه به نمودارهای ممان-چرخش که از تحلیل به دست می‌آیند مشخص شود که آسیب در کدام‌یک از ستون‌ها ایجادشده است و با استفاده از این روند می‌توان میزان آسیب ایجادشده در ستون‌ها را نیز تشخیص داد و در این پژوهش فرض شده است که آسیب بحرانی در پایین ستون‌ها ایجاد می‌شود.

در این بخش تعدادی رکورد زلزله جهت تحلیل تاریخچه زمانی انتخاب می‌شود، مشخصات رکوردهای زلزله‌های منتخب در جدول ۳ نگارش شده است و رکوردها دور از گسل می‌باشند و فرض شده است که خاک محل ثبت رکوردها با خاک محل پژوهش یکسان می‌باشند و طبق مرجع [1] خاک محل ثبت هر سه رکورد متناسب با یکدیگر می‌باشند. رکوردهای زلزله منتخب مطابق با الزامات مربوط به نشریه [32] طرح پل‌های راه و راه‌آهن در برابر زلزله، مقیاس شده است. در این پژوهش برای بررسی میزان آسیب ایجادشده در پایه پل و کاهش سختی اتفاق افتاده در سازه، شب منحنی ممان-چرخش در ابتدای پاسخ به دست آمده در هر بار اعمال رکورد زلزله بررسی شده‌اند و ذکر این مسئله حائز اهمیت می‌باشد که چون در مورد آسیب وارد شده به پل‌ها با اعمال یک شتاب‌نگاشت اطلاعات دقیقی نداریم، می‌باشد برای بررسی آسیب ایجادشده، دو شتاب‌نگاشت به صورت متوالی به پل اعمال شوند و با بررسی شب قسمت ابتدایی دو نمودار (درواقع با بررسی افت و کاهشی که در شب قسمت دوم نمودار در مقایسه با قسمت اول رخداده است) به میزان کاهش سختی و آسیب وارد شده به ستون پل پی ببریم. مشخصات زلزله‌های منتخب در جدول ۳ نمایش داده شده است و همان‌طور که در بخش‌های قبل ذکر شده است خاک محل ثبت شتاب‌نگاشت‌های انتخابی متناسب می‌باشند.

جدول ۴- میزان آسیب ایجادشده در پایه پل ناشی از اثر زلزله

Pier 8	Pier 7	Pier 6	Pier 5	Pier 4	Pier 3	Pier 2	Pier 1	applied record	Row
4%	4%	10%	10%	10%	10%	4%	4%	Northern Calif	1
30%	30%	41%	41%	41%	41%	30%	30%	Kocaeli	2
32%	32%	44%	44%	44%	44%	32%	32%	Varzaqan	3

Table 4. The amount of damage caused to the pier of the bridge caused by the earthquake

نمودن مقدار عددی نیروی دیگر، بعضاً آسیب دقیق تشخیص داده نمی‌شود و یا این‌که بعضاً احتمال فراگذشت از حالت حدی صفر یا صد درصد هستند که این مسئله باعث می‌شود که منحنی شکنندگی دارای مفهوم موردنظر این پژوهش نباشد و در کل ۳۰ شدت مقیاس شده برای رسم این منحنی‌های شکنندگی در حالت‌های سالم و آسیب‌دیده در نظر گرفته شده است که در بعضی از منحنی‌های شکنندگی به علت نمایش بهتر، بعضی از این نقاط ابتدایی و پایانی رسم نشده‌اند که البته مشخص می‌باشند که این نقاط ابتدایی عمدتاً بیانگر احتمال فراگذشت نزدیک به صفر و یا صفر هستند و نقاط انتهایی احتمال فراگذشت صد و یا نزدیک به صد را بیان می‌کنند که شامل مفهوم کاربردی برای هدف این پژوهش نمی‌باشند.

### ۱-۵- رسم منحنی شکنندگی نیروهای هارمونیک برای حالت سالم

طریقه‌ی رسم منحنی شکنندگی در حالت سالم بدین‌صورت می‌باشد که فرض شده است که موتور ارتعاشی این نیروی هارمونیک را وارد می‌کند و حسگرهایی در پایین ستون این ارتعاشات حاصل از اعمال نیروهای هارمونیک را ثبت می‌کنند و در این بخش دونیروی هارمونیک با فرکانس‌های متفاوت به بالای ستون اعمال می‌شوند و در پایین ستون چرخش ایجاد شده توسط حسگرهای ثبت می‌شوند، البته توجه شود که برای جلوگیری از پدیده‌ی تشدید<sup>۳۴</sup> و پدیده‌ی ضربان<sup>۳۵</sup> بایستی که فرکانس‌های وارد به پل با فرکانس‌های طبیعی سیستم متفاوت باشند که این مسئله در این بخش در نظر گرفته شده است.

لازم به ذکر است که همان‌طور که در بخش‌های قبل توضیح داده شده است شاخص شدت در نظر گرفته شده برای رسم منحنی شکنندگی بیشینه‌ی نیروی هارمونیک وارد به بالای ستون می‌باشد و شاخص نیاز در نظر گرفته شده چرخشی می‌باشد که در پایین ستون ایجاد می‌شود و سطح عملکرد در نظر گرفته شده، فراگذشت از حالت خطی می‌باشد که در

### ۵- تشخیص آسیب در ستون پل با استفاده از منحنی‌های شکنندگی نیروی هارمونیک

برای بحث تشخیص آسیب در پل‌ها، یکی از روش‌هایی که نیاز می‌باشد مورد بررسی قرار گیرد استفاده از منحنی‌های شکنندگی می‌باشد تا کاربرد این منحنی‌ها در بحث تشخیص آسیب در پایه‌ی پل‌ها مشخص گردد.

برای تشخیص آسیب فرض می‌شود که قبیل از برخورد زلزله با سازه‌ی موردنظر، ستون منتخب پل با نیروی هارمونیک مرتعش شده است و چرخش‌های رخداده در پایین ستون پل با استفاده از حسگرهایی در پایین ستون پل ثبت شده‌اند و بعد از زلزله و آسیب به سازه، دوباره ستون پل توسط نیروی هارمونیک مرتعش شده است و چرخش‌های رخداده در پایین ستون اندازه‌گیری شده‌اند و پس از پردازش و بررسی داده‌های به دست آمده از پل‌های سالم و آسیب‌دیده، با استفاده از منحنی‌های شکنندگی نیروهای هارمونیک در حالت‌های سالم و آسیب‌دیده به پایش سلامت پایه‌ی پل پرداخته می‌شود. فرض شده است که این نیروی‌های ارتعاشی را موتور محركی به پایه‌های پل اعمال می‌کنند.

در این پژوهش به جای مدل‌سازی آسیب از خود نیروی زلزله برای کاهش سختی در ستون پل استفاده شده است به‌گونه‌ای که ابتدا نیروی هارمونیک به ستون پل وارد می‌شود و سپس ارتعاشات ستون ثبت می‌شود و سپس نیروی زلزله به پل وارد می‌شود و در ستون آسیب ایجاد می‌کند و پس از آن نیروی هارمونیک دوباره به ستونی وارد می‌شود که دچار آسیب لرزه‌ای شده است، سپس ارتعاشات ستون ثبت می‌شود این عملیات باعث می‌شود که آسیب بسیار دقیق در مدل تعريف شود.

شدت در نظر گرفته برای این منحنی شکنندگی برای ضریب مقیاس‌های مختلف محاسبه شده است و هرکدام از ضریب مقیاس‌ها به صورت پلکانی با گام‌های ثابت ۰/۰۲ افزایش پیدا کرده‌اند و هرکدام در شدت موردنظر ضرب شده و محاسبه شده است و این اعداد به صورت مشخص در عدد ۱۵۰ تن نیرو ضرب شده است و این عدد، با توجه به بررسی مقدار عددی نیروهای مختلف دیگر به دست آمده است و با مقیاس

در این بخش چون هدف رسم منحنی شکنندگی در حالت آسیب‌دیده می‌باشد بایستی که آسیب در ستون در نظر گرفته شود که برای در نظر گرفتن دقیق‌تر آسیب، خود نیروی زلزله به پل موردنظر اعمال شده است و سپس نیروهای هارمونیک در حالتی که سازه دچار آسیب لرزه‌ای شده است، وارد شده‌اند. مشخصات منحنی شکنندگی در حالت آسیب‌دیده نیز به این صورت می‌باشد که شاخص شدت در نظر گرفته شده بیشینه‌ی نیروی هارمونیک وارد به بالای ستون می‌باشد و شاخص نیاز مهندسی در نظر گرفته شده چرخشی می‌باشد که در پایین ستون رخ می‌دهد. در شکل ۸ منحنی شکنندگی نیروی هارمونیک در حالت آسیب‌دیده جزئی ۱۵ درصد، ۱۱ درصد، ۵ درصد و ۲ درصد نمایش داده شده‌اند.

نتایج این بخش نیز نشان‌دهنده‌ی این می‌باشد که منحنی شکنندگی نیروهای هارمونیک بسیار دقیق رفتار سازه در آسیب‌های جزئی ایجاد شده ناشی از زلزله را نمایش می‌دهند و نتایج نشان می‌دهند که حتی اگر شدت آسیب‌های ایجاد شده ۵ درصد و ۲ درصد باشند نیز منحنی‌های شکنندگی نیروهای هارمونیک به خوبی ترسیم می‌شوند و این روش برای شدت‌های آسیب در نظر گرفته نیز کارآمد می‌باشد و علاوه بر آن این مسئله نیز اثبات شده است که شاخص‌های شدت و نیاز مهندسی تعریف شده یعنی بیشینه‌ی نیروی هارمونیک و چرخش ایجاد شده در ستون برای رسم این منحنی‌های پیشنهاد شده مناسب می‌باشد.

### ۳-۵- تشخیص آسیب با استفاده از منحنی‌های شکنندگی نیروهای هارمونیک

با توجه به موضوع این مقاله که پایش سلامت پایه پل می‌باشد و لازم می‌باشد کارایی و کارآمدی منحنی‌های شکنندگی نیروهای هارمونیک جهت پایش سلامت پایه پل بررسی شود، به همین دلیل لازم می‌باشد که منحنی‌های شکنندگی حالت‌های سالم و آسیب‌دیده کنار هم قرار گیرند و مورد مقایسه واقع شوند.

قسمت قبل به صورت دقیق این نقطه تعریف شده بود و برای رسم منحنی شکنندگی از تابع لوگ نرمال استفاده شده است که یکی از متداول‌ترین توابعی می‌باشد که در اکثر پژوهش‌های مرتبط با منحنی شکنندگی از آن استفاده شده است و برای استفاده از رابطه‌ی مربوط به منحنی شکنندگی میانگین و انحراف معیار شاخص‌های نیاز محاسبه شده است و منحنی شکنندگی که بیانگر احتمال فراغذشت از حالت حدی با توجه به شدت‌های در نظر گرفته شده، رسم شده است که در شکل ۷ نمایش داده شده است.

شکل ۷- منحنی شکنندگی وضعیت سالم ستون شماره ۶ پل

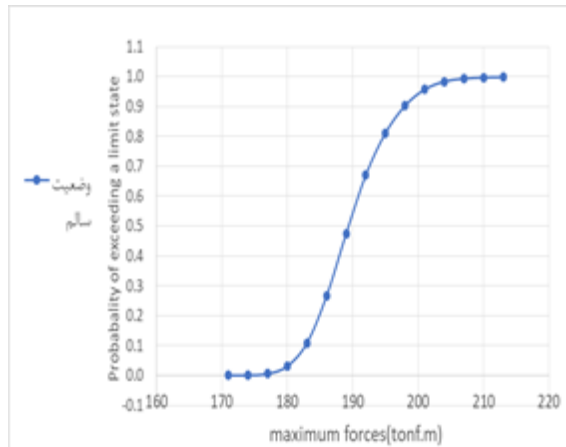


Fig. 7. The fragility curve of the healthy state of bridge column No. 6

منحنی شکنندگی بیانگر احتمال فراغذشت شاخص نیاز چرخش رخ داده در پایین ستون از حالت حدی تعریف شده در شدت‌های مختلف می‌باشد و منحنی شکنندگی رسم شده در حالت سالم کارایی و قابلیت این مورد انتظار برای بیان رفتار سازه در حالت سالم را اثبات کرد و نشان داده شد که منحنی شکنندگی نیروهای هارمونیک می‌تواند بیانگر رفتار سازه در شدت‌های مختلف سازه باشد.

۵-۲- رسم منحنی شکنندگی در حالت آسیب‌دیده با توجه به هدف این پژوهش که پایش سلامت و تشخیص آسیب است لازم می‌باشد که قابلیت منحنی‌های شکنندگی که بیان‌کننده‌ی رفتار سازه در حالت‌های آسیب‌دیده می‌باشد نیز بررسی شود.

### ۶-۱-بررسی روش نشانه آسیب ارتقاء یافته (PDI<sup>۳۶</sup>)

در این بخش قابلیت روش PDI برای نمایش تفاوت بین منحنی‌های شکنندگی سالم و آسیب‌دیده بررسی شده است در شکل ۸ منحنی‌های شکنندگی نیروی هارمونیک برای حالت‌های مختلف آسیب جهت مشاهده تفاوت‌ها نمایش داده شده است و سپس در شکل ۹ همبستگی منحنی‌های PDI شکنندگی نیروهای هارمونیک با استفاده از شاخص PDI نمایش داده شده است.

شکل ۹- استفاده از شاخص PDI جهت نمایش تفاوت منحنی‌های شکنندگی

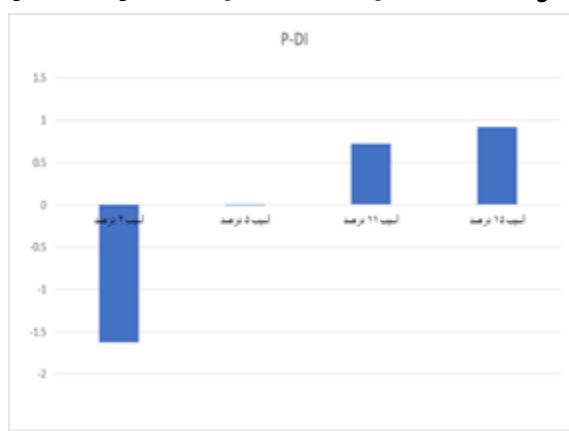


Fig. 9. Using the PDI index to show the difference in fragility curves

همان‌طور که در شکل ۹ مشاهده می‌شود، این شاخص در نظر گرفته شده، تفاوت بین آسیب‌های ۱۵ درصد و همچنین آسیب‌های ۱۱ درصد و ۵ درصد را به خوبی تشخیص می‌دهد و مقدار عددی این شاخص برای آسیب ۱۵ درصد بیشتر از آسیب ۱۱ درصد و همچنین برای آسیب ۱۱ درصد هم بیشتر از آسیب ۵ درصد می‌باشد اما این شاخص برای آسیب ۲ درصد نمایش دقیقی از تفاوت منحنی‌ها ارائه نکرده است، در کل این روش قابلیت نمایش مناسبی از تفاوت منحنی‌ها برای آسیب‌های ۵ درصد تا ۱۵ درصد را دارا بوده است.

در ادامه معیار PCOMAC جهت ارائه شاخصی دقیق‌تر موردنرسی قرار می‌گیرد.

در این قسمت در شکل ۸ مقایسه‌ای بین منحنی شکنندگی در حالت سالم و آسیب‌دیده ۱۵ درصد و ۱۱ درصد و ۵ درصد و ۲ درصد انجام شده است.

شکل ۸- منحنی شکنندگی وضعیت‌های سالم و آسیب‌دیده مختلف ستون

شماره ۶

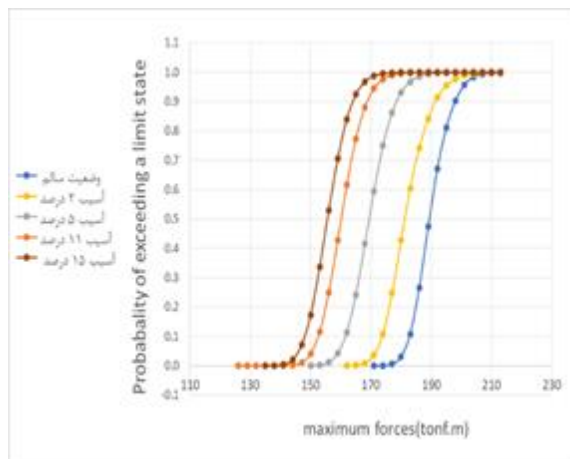


Fig. 8. The fragility curve of healthy states and different damaged states bridge column No. 6

منحنی‌های شکنندگی در حالت سالم و آسیب‌دیده ۲۵ درصد بسیار دقیق و مناسب در کنار هم تعریف شده‌اند و تفاوت بین منحنی‌های شکنندگی در حالت سالم و آسیب کاملاً مشخص می‌باشد. تفسیر شکل ۸ بدین صورت می‌باشد که با توجه به شکل ترسیم شده، احتمال فراگذشت از حالت حدی تعريف شده در منحنی شکنندگی در نظر گرفته شده برای وضعیت آسیب‌دیده، بیشتر از وضعیت سالم می‌باشد و این درصد احتمال فراگذشت از حالت حدی در شدت‌های مختلف نیروهای هارمونیک قابل مشاهده و قیاس می‌باشد که این مسئله بیانگر این می‌باشد که این منحنی‌ها آسیب را تشخیص داده‌اند.

### ۶-نمایش همبستگی منحنی‌های شکنندگی ستون سالم و آسیب‌دیده

برای این که تفاوت‌های منحنی‌های شکنندگی دقیق‌تر مشخص شود و بتوان این مسئله را به صورت کمی نیز بیان کرد، نیاز می‌باشد که معیارهایی در نظر گرفته شود که به واسطه‌ی این معیارها این همبستگی‌ها نشان داده شوند.

نژدیک‌تر می‌باشد که شاخص PCOMAC عددی نژدیک به ۱ را نشان می‌دهد که خود نشان‌دهندهٔ تطابق شاخص در نظر گرفته شده با نتایج منحنی‌های شکنندگی می‌باشد.

در مجموع می‌توان بیان کرد که در این بخش دو معیار مناسب برای نمایش تفاوت منحنی‌های شکنندگی نیروی هارمونیک در حالت‌های سالم و آسیب‌دیده ارائه شد که عملکرد معیار PCOMAC نسبت به معیار PDI نسبتاً بهتر بود.

## ۷- نتیجه‌گیری

در این مقاله جهت تشخیص آسیب جزئی در پایه پل مستقیم از منحنی‌های شکنندگی نیروهای هارمونیک استفاده شده است. این منحنی‌ها از اعمال نیروی هارمونیک به بالای ستون منتخب پل و سنجش چرخش رخداده در پایین ستون به دست آمده‌اند و در تمامی منحنی‌های رسم شده چه برای وضعیت سالم ستون و چه برای وضعیت آسیب‌دیده ستون پل، شاخص شدت در نظر گرفته شده بیشینهٔ نیرو و شاخص نیاز مهندسی تعریف شده چرخش رخداده در پایین ستون و سطح عملکرد تعریف شده نیز احتمال فراگذشت از حالت خطی در نظر گرفته شده است.

یافته‌های این مقاله به صورت مختصر به صورت زیر شرح داده شده است:

- نتایج این تحقیق ثابت کرده است که منحنی‌های شکنندگی نیروهای هارمونیک می‌توانند ابزار بسیار مناسبی برای پایش سلامت پایه‌پلاها باشند و با استفاده از این روش در این پژوهش آسیب‌های ۱۵ درصد و ۱۱ درصد با دقت بسیار بالایی تشخیص داده شده‌اند در ضمن در این تحقیق آسیب‌های بسیار جزئی ۵ درصد و حتی ۲ درصد با دقت بسیار بالایی تشخیص داده شدند که نشان‌دهندهٔ کاربرد منحنی شکنندگی نیروهای هارمونیک در بحث تشخیص آسیب‌های جزئی می‌باشد.

- در این تحقیق برای اولین بار برای رسم منحنی‌های شکنندگی از نیروهای هارمونیک استفاده شده است که در تحقیقات قبلی با موضوع بررسی آسیب‌پذیری لرزه‌ای سازه با استفاده از منحنی شکنندگی از نیروی زلزله برای رسم این منحنی‌ها استفاده شده بود که در این تحقیق با توجه به کاربرد

## ۶- بروزی روش معیار اطمینان مودی مختصاتی (PCOMAC<sup>۳۷</sup>) ارتقاء یافته

در این بخش همانند بخش قبل قابلیت روش PCOMAC برای نمایش تفاوت بین منحنی‌های شکنندگی سالم و آسیب‌دیده بررسی شده است و در این بخش برای درک دقیق‌تر عملکرد شاخص ارائه شده در شکل ۸ منحنی شکنندگی وضعیت‌های سالم و آسیب‌دیده در حالت‌های مختلف را نمایش داده است. سپس در شکل ۱۰ همبستگی منحنی‌های شکنندگی نیروهای هارمونیک با استفاده از شاخص PCOMAC نمایش داده شده است.

شکل ۱۰- استفاده از شاخص PCOMAC جهت نمایش تفاوت منحنی‌های شکنندگی

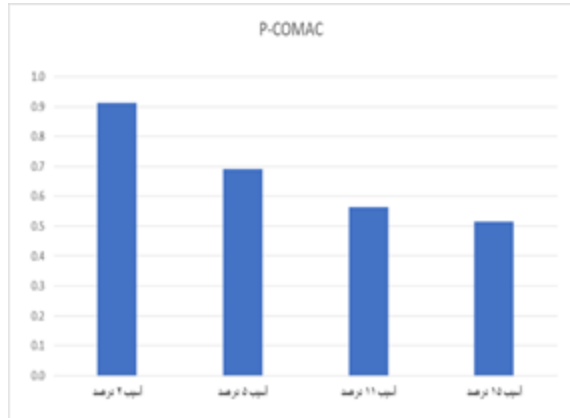


Fig. 10. Using the PCOMAC index to show the difference in fragility curves

همان‌طور که در شکل ۱۰ مشخص می‌باشد معیار PCOMAC بسیار بهتر از معیار PDI میزان تفاوت بین منحنی شکنندگی سالم و منحنی شکنندگی آسیب‌دیده را مشخص کرده است و اگر معیار به عدد ۱ نژدیک شود به معنی همبستگی و هرچقدر به عدد صفر نژدیک شود این عدد بیانگر حالتی می‌باشد که از همبستگی دور شده است، در شکل ۱۰ معیار PCOMAC در مورد آسیب‌هایی با شدت پایین‌تر، نتایج به عدد به ۱ نژدیک شده است و برای آسیب‌های شدیدتر این شاخص به عدد ۰ نژدیک شده است که همین مسئله را در نمودارها مشاهده می‌شود برای مثال منحنی آسیب ۲ درصد به منحنی حالت سالم

## -۷ مراجع

- [1] Ahmadi, H., Daneshjoo, F., Khaji, N., 2012. detection of seismic damage of concrete piers of railway bridges using time-frequency analysis. Dissertation for Civil Engineering- Earthquake Doctoral Course, Faculty of Civil and Environmental Engineering, Tarbiat Modares University.
- [2] Davis, S.L., Goldberg, D., DeGood, K., Donohue, N., Corless, J., & America, T.f., 2013. The Fix We're In For: The State of Our Nation's Bridges 2013. Retrieved from Transportation for America, 1707 L Street NW, Suite 250, Washington, DC 20036
- [3] Xiang, N., et al. 2019. Passive seismic unseating prevention strategies implemented in highway bridges: A state-of-the-art review. Journal of Engineering Structures, vol. 194 (9), pp. 77-93.
- [4] Wenzel H. Health monitoring of bridges. John Wiley & Sons; 2008 Nov 20, ISBN: 978-0-470-03173-5.
- [5] Doebling, S., et al. 1996. Damage identification and health monitoring of structural and mechanical systems from changes in their vibration characteristics: a literature review. Los Alamos National Laboratory is operated by the University of California.
- [6] Asadi Zeidabadi, A., Bakshi, A., Ghotra Amiri, G., 2016. Structural health monitoring based on experimental wavelet transform method and fuzzy logic. Dissertation of Master's Degree in Civil-Structural Engineering, Faculty of Civil Engineering, Sharif University of Technology.
- [7] Karbhari, V., Lee, L.S., 2009. Vibration-based damage detection techniques for structural health monitoring of civil infrastructure systems. Structural Health Monitoring of Civil Infrastructure Systems; A volume in Woodhead Publishing Series in Civil and Structural Engineering, pp. 177-212.
- [8] Fan, W., & Qiao, P., 2011. Vibration-based damage identification methods: a review and comparative study. Journal of Structural health monitoring, vol. 10(1), pp. 83-111.
- [9] Kim, J., Stubbs, N., 2003. Nondestructive Crack Detection Algorithm for Full-Scale Bridges. Journal of structural engineering, vol. 129, pp. 1358-1366.
- [10] Zhou, H.F., Ni, Y.Q., KO, J.M., 2011. Eliminating Temperature Effect in Vibration-Based Structural Damage Detection. Journal of Engineering Mechanics, vol. 137, pp. 758-796.
- [11] An, Y., et al, 2019. Recent progress and future trends on damage identification methods bridge structures. Journal of Structural Control and Health Monitoring, vol. 26(1).
- [12] Tabaei, A., Daneshjoo, F., 2014. Development of COMAC and damage index methods to detect damage on the side of bridge supports. The scientific-research journal of Omran Modares, vol. 15, no. 4, pp. 260-245.
- [13] Stubbs, N., Kim, j., Farrar, C., 1995. Field verification of a nondestructive damage localization and severity estimation algorithm. In: Proceedings of SPIE - The International Society for Optical Engineering.

این نیروها در موضوع پایش سلامت، از این نیروها برای رسم منحنی‌های شکنندگی و پایش سلامت پایه پل استفاده شده است و نتایج به دست آمده نشان می‌دهد که با استفاده از نیروهای هارمونیک نیز می‌توان منحنی شکنندگی‌های مناسبی رسم کرد.

- شاخص شدت در نظر گرفته شده برای رسم منحنی‌های شکنندگی در پژوهش‌های قبلی عمدتاً PGA و Sa بوده‌اند که در این پژوهش شاخص شدت دیگری متناسب با نیاز پژوهش ارائه شده است و نتایج به دست آمده نشان داده است که استفاده از شاخص شدت بیشینه‌ی نیرو برای رسم منحنی‌های شکنندگی نیروهای هارمونیک بسیار کاربردی و مناسب می‌باشد.

- در تحقیقات پیشین از دو معیار COMAC و DI برای بررسی تفاوت بین شاخص‌های مودال سازه جهت تشخیص آسیب استفاده می‌شد اما در این تحقیق با ارتقاء دو معیار PCOMAC و DI دو معیار جدید COMAC و PDI ارائه شدند که در این دو معیار به جای استفاده از داده‌های مربوط به مشخصه‌های مودال سازه آسیب‌دیده و سالم، از نتایج مربوط به منحنی شکنندگی، یعنی مؤلفه‌ی احتمال فراگذشت (FR) در حالت‌های سالم و آسیب‌دیده ستون منتخب، استفاده شد و هر مقدار معیار PDI عدد بزرگ‌تری را نشان دهد نشان‌دهنده آسیب بیشتر است و در مورد معیار PCOMAC نیز هر مقدار نتایج این معیار به عدد ۱ نزدیک‌تر باشد نشان‌دهنده نزدیکی دو نمودار سالم و آسیب‌دیده و آسیب کمتر می‌باشد و هر مقدار به صفر نزدیک‌تر باشد نشان‌دهنده فاصله‌ی کمتر دو نمودار سالم و آسیب‌دیده و آسیب بیشتر است و درنهایت معیار PCOMAC در کنار معیار PDI معیارهای مناسبی جهت نمایش تفاوت بین منحنی‌های شکنندگی ستون‌های سالم و آسیب‌دیده تشخیص داده شدند، هرچند که معیار PDI نسبت به معیار DI معیار دقیق‌تری می‌باشد و با استفاده از این معیارهای ارائه شده با دقت مناسبی می‌توان نتایج مربوط به منحنی‌های شکنندگی در حالت‌های سالم و آسیب‌دیده را کمی سازی کرد و مورد تحلیل و بررسی قرارداد.

- [24] Bayat, M., Daneshjoo, F., Nisticò, N., 2015. A novel proficient and sufficient intensity measure for probabilistic analysis of skewed highway bridges. *Journal of Structural Engineering and Mechanics*, vol. 55, no 6, pp. 1177-1202.
- [25] Ren, L., et al., 2019. Seismic Fragility Analysis of Bridge System Based on Fuzzy Failure. *Journal of Advances in Civil Engineering*, Article ID 3592972, vol. 55.
- [26] Alam, J., Kim, D., Chio, B., 2019. Seismic ris assessment of intake tower in Korea using updated fragility by Bayesian inference. *Journal of Structural Engineering and Mechanics*, vol. 69, no 3, pp. 317-326.
- [27] Soltanimohammadi, M., Rahimi, S., 2019. Book of probabilistic methods in seismic evaluation of structures. ISBN: 9786227034042.
- [28] Daneshjoo, F., 2015, Earthquake Engineering Lecture – 21: Nonlinear dynamic analysis Single and multiple increments, Tarbiat Modares University, Tehran, Iran, Researchgate.net Publication, Technicla Report.
- [29] Cheng, Y., Zhang, J., Jiajia, W., 2019. Fragility Analysis of a Self-Anchored Suspension Bridge Based on Structural Health Monitoring Data. *Journal of Advances in Civil Engineering*, vol. 2019, Article ID 7467920.
- [30] Ndambi, J.M., Vantomme, K., 2002. Damage assessment in reinforced concrete beams using eigenfrequencies and mode shape derivatives. *Journal of Engineering Structures*, vol. 24, no 3, pp. 501-515.
- [31] Joladarian, H., Naderi, M., 2015. Seismic modal analysis of bridges located in horizontal arch. Master's thesis in Civil-Structural Engineering, Technical and Engineering Faculty, Imam Khomeini International University.
- [32] Code 463, Regulations for designing road and railway bridges against earthquakes, 1387, Vice President of Planning and Strategic Supervision, Tehran.
- [14] Shah, A.J., Jayaprakash, V., Vesmawala, G.R., 2020. A Comparative Study on Vibration-Based Damage Identification and Localization Methods. In: IOP Conf. Series: Materials Science and Engineering.
- [15] Dixit, A., & Hanagud, S., 2011. Single beam analysis of damaged beams verified using a strain energy based damage measure. *International Journal of Solids and Structures*, 48(3), 592-602.
- [16] Curadelli, R.O., Riera, J.D., Ambrosini, D., & Amani, M.G., 2008. Damage detection by means of structural damping identification .*Journal of Engineering Structures*, vol. 30(12), pp. 3497-3504.
- [17] Hou, R., Xia, Y., 2021. Review on the new development of vibration-based damage identification for civil engineering structures: 2010-2019. *Journal of Sound and Vibration*, vol. 491, no 9.
- [18] Dilena, M., Limongelli, M.P., Morassi, A, 2014. Damage localization in bridges via the FRF interpolation method. *Journal of Mechanical Systems and Signal Processing*.
- [19] Sohn, H., Czarnecki, J.A., Farrar, C., 2000. Statistical process control and projection techniques for structural health monitoring. In: European COST F3 Conference on System Identification & Structural Health Monitoring, Madrid, Spain.
- [20] Bayat, M., Ahmadi, H.R., Mahdavi, N., 2019. Application of power spectral density function for damage diagnosis of bridge piers *Journal of Structural Engineering and Mechanics* , vol. 71, no 1, pp. 57-63.
- [21] Ovanesova, A., & Suarez, L., 2004. Applications of wavelet transforms to damage detection in frame structures. *Journal of Engineering Structures*, vol. 26(1), pp. 39-49.
- [22] Dan, J., et al., 2020. Global bridge damage detection using multi-sensor data based on optimized functional echo state networks. *Journal of Structural Health Monitoring*. vol. 20, no 4, pp. 1924-1937.
- [23] Bjrn T., et al., 2022. A data- based structural health monitoring approach for damage detection in steel bridges using experimental data. *Journal of Civil Structural Health Monitoring* vol. 12, pp. 101–115.

## A new method for damage detection minor damages in the piers of straight bridges using fragility curves of harmonic forces

Mohammad Mohammadi<sup>1</sup>, Farhad Daneshjoo <sup>\*2</sup>

1-MS.c Student, Department of Environmental & Civil engineering, Tarbiat Modares University

2- Full Professor in structural Engineering, Faculty of Civil and Environmental Engineering, Tarbiat Modares University

Email: danesh\_fa@modares.ac.ir

### Abstract

Due to the increase in the age of bridges, the explanation and use of effective methods for detecting minor damage with the help of health monitoring systems are crucial since they provide the conditions for repairing the damage before the damage increases. One of the primary goals of this article is to provide an effective and efficient method for health monitoring and detect minor damage in the pier of a straight bridge using fragility curves of harmonic forces, and provide a criterion to show the correlation of fragility curves in healthy and damaged states. To achieve these goals, a complete model of a straight bridge that includes 8 piers, each 10 meters high and its deck includes 5 openings, the length of each is 15 meters, and the total length of the deck of 75 meters was modeled in the CSI Bridge software, and then, was validated. To detect the most vulnerable column for damage modeling for health monitoring operations, three earthquake records corresponding to the soil of the construction site were successively applied to the model. By examining the decrease in the slope of the moment-rotation graphs, the level of damage that occurred at the bottom of the column was detected. Finally, it was found that the middle piers were more prone to seismic damage and health monitoring operations were performed on one of the middle columns. To draw the fragility curves of harmonic forces, harmonic forces were first applied to the top of the column. Then, the rotations created at the bottom of the column were measured. Based on the obtained data and using the relevant relations, the fragility curves were drawn.

The index of the maximum intensity of force, the index of rotation damage that occurred at the bottom of the column, and the defined performance level of exceedance from the linear state are the characteristics of these fragility curves. The specified characteristics are appropriate to the fragility curves of the harmonic force. To draw the fragility curve in the damaged state, the desired earthquake (seismic) forces were first applied to the bridge. Then, harmonic forces were applied to the top of the desired column, and the rotations at the bottom of the column were measured. Also, based on the previous characteristics of the fragility curves of harmonic forces, these curves in healthy and partially damaged states were defined at 15 % and 11 % and 5 % and 2 %, respectively, given the main purpose of this article. To detect damage, curves were placed next to each other in healthy and partially damaged states. These results indicate that the fragility curves of harmonic forces have been drawn well in healthy and partially damaged states according to the defined characteristics, and partial damages with different intensities have been correctly detected. To examine the correlation of the fragility curves of harmonic forces in both damaged and healthy states, two new criteria PCOMAC and PDI were introduced. Also, the efficiency of these two new criteria was investigated.

**Keywords:** Health monitoring, Damage detection, bridge piers, fragility curves